

# PPAR $\gamma$ 激动剂对 RSV 感染的 A549 细胞 MCP - 1、MIP - 1 $\alpha$ 、IL - 8 表达的作用及机制

董琳 王志远 万春杰 陈兆兴 陈小芳

**摘要 目的** 研究 A549 细胞呼吸道合胞病毒(RSV)感染不同时间后单核细胞趋化蛋白-1(MCP-1)、巨噬细胞炎性蛋白-1 $\alpha$ (MIP-1 $\alpha$ )、白介素-8(IL-8)在 mRNA 和蛋白水平的变化,进一步观察 15-脱氧前列腺素 J<sub>2</sub>(15d-PGJ<sub>2</sub>)和罗格列酮干预后 MCP-1、MIP-1 $\alpha$ 、IL-8 mRNA 表达和蛋白水平的变化,探讨 PPAR $\gamma$  激动剂对 RSV 感染趋化因子表达的影响及机制。

**方法** 建立 RSV 感染的细胞模型,将传代培养的细胞随机分成 6 组:A 组(15d-PGJ<sub>2</sub>+RSV 组)、B 组(罗格列酮+RSV 组)、C 组(RSV 组)、D 组(PDTC+RSV 组)、E 组(PPAR $\gamma$  抗剂 GW9662+罗格列酮+RSV 组)、F 组(细胞对照组),各组分别在培养 12、24、48h 收获细胞及上清液待测。应用 ELISA 检测 MCP-1、MIP-1 $\alpha$ 、IL-8 蛋白水平,实时定量 RT-PCR 检测 MCP-1、MIP-1 $\alpha$ 、IL-8 mRNA 表达。**结果** C 组与 F 组相比,MCP-1、MIP-1 $\alpha$ 、IL-8 mRNA 及蛋白的表达均在 12h 开始升高,其中 mRNA 表达在 24h 达高峰,48h 有所下降,与 12h 比较差异无统计学意义( $P$  均  $> 0.05$ );而蛋白表达在 48h 达高峰,与 12h 比较差异有统计学意义( $P$  均  $< 0.05$ );D 组各时间点 3 种趋化因子蛋白和 mRNA 表达均明显低于 C 组( $P$  均  $< 0.05$ ),但仍高于 F 组( $P$  均  $< 0.05$ )。A 组、B 组与 C 组相比,各时间点 MCP-1、MIP-1 $\alpha$ 、IL-8 蛋白及 mRNA 表达均明显降低( $P$  均  $< 0.01$ );E 组与 C 组 3 种趋化因子蛋白及 mRNA 表达的差异无统计学意义,但仍高于 F 组( $P$  均  $< 0.05$ )。**结论** RSV 感染可导致 MCP-1、MIP-1 $\alpha$ 、IL-8 mRNA 及蛋白表达升高;15d-PGJ<sub>2</sub>、罗格列酮均可抑制上述作用,其作用可被 GW9662 所阻断;PPAR $\gamma$  激动剂的作用机制与抑制 NF- $\kappa$ B 通路激活有关。

**关键词** PPAR $\gamma$  激动剂 呼吸道合胞病毒 MCP-1 MIP-1 $\alpha$  IL-8

中图分类号 R56

文献标识码 A

DOI 10.3969/j.issn.1673-548X.2015.02.018

**Effect and Mechanism of PPAR $\gamma$  Agonists on the Expression of MCP-1, MIP-1 $\alpha$  and IL-8 in A549 Cells Infected with Respiratory Syncytial Virus.** Dong Lin, Wang Zhiyuan, Wan Chunjie, et al. Department of Pulmonology, The Second Affiliated & Yuying Children's Hospital of Wenzhou Medical University, Zhejiang 325027, China

**Abstract Objective** To investigate the expression of monocyte chemotactic protein 1 (MCP-1), macrophage inflammatory protein-1 $\alpha$  (MIP-1 $\alpha$ ) and interleukin-8 (IL-8) both at mRNA and protein levels in A549 cells infected with respiratory syncytial virus (RSV) at different point. Furthermore, to evaluate the changed expression of those chemokines when pretreated with 15-deoxy-delta12, 14 prostaglandin J<sub>2</sub> (15d-PGJ<sub>2</sub>) or rosiglitazone, and to figure out the mechanism of PPAR $\gamma$  agonists. **Methods** RSV inoculation after A549 cells subcultured, then A549 cells were randomly divided into 6 groups: group A (15d-PGJ<sub>2</sub>+RSV group), group B (rosiglitazone+RSV group), group C (RSV group), group D (PDTC+RSV group), group E (GW9662+rosiglitazone+RSV group), group F (cell control group). Cells and supernatant were harvested after the cultivation at 12h, 24h and 48h, respectively. ELISA was used to detect the protein levels of MCP-1, MIP-1 $\alpha$  and IL-8 and quantitative real-time PCR was used to test mRNA levels. **Results** Compared with group F, the expression of MCP-1, MIP-1 $\alpha$  and IL-8 both at mRNA and protein levels in group C increased at the beginning of 12h, mRNA expression reached the peak at 24h, decreased at 48h and had no significant difference with those at 12h. While, the protein levels reached a peak at 48h and the difference was statistically significant compared with those at 12h ( $P$  all  $< 0.05$ ). At each time points, MCP-1, MIP-1 $\alpha$ , IL-8 mRNA and protein levels in group D were lower than those in group C, but were still higher than those in group F ( $P$  all  $< 0.05$ ). Compared with group C, MCP-1, MIP-1 $\alpha$ , IL-8 mRNA and protein expression were remarkably decreased in group A and group B ( $P$  all  $< 0.05$ ). Furthermore, MCP-1, MIP-1 $\alpha$ , IL-8 mRNA and protein levels, which were higher than group F, indicated no significant difference in group E and group C. **Conclusion** RSV infections result in the increased ex-

基金项目:浙江省自然科学基金资助项目(Y2090932);温州市科技计划对外合作交流基金资助项目(H20080054)

作者单位:325000 温州医科大学附属第二医院、育英儿童医院呼吸科

通讯作者:董琳,电子信箱:donglin@wzhealth.com

pression of MCP - 1, MIP - 1 $\alpha$ , IL - 8 both at mRNA and protein levels. 15d - PGJ<sub>2</sub> and rosiglitazone inhibit this upregulatory effect. The effects of PPAR -  $\gamma$  agonists can be reversed by GW9662. The mechanism is associated with the inhibition of NF -  $\kappa$ B pathway activation.

**Key words** PPAR $\gamma$  agonists; Respiratory syncytial virus; MCP - 1; MIP - 1 $\alpha$ ; IL - 8

呼吸道合胞病毒(RSV)是婴幼儿下呼吸道感染(LRTI)一种最常见的病原,每年全球大约有60万患儿因直接或间接感染RSV而发生死亡<sup>[1]</sup>。生命早期的RSV感染还与反复喘息、气道高反应性(AHR)及哮喘密切相关<sup>[2]</sup>。虽然这种相关性的内在本质尚未明确,但RSV诱导的炎性介质释放和气道炎症持续存在可能发挥关键的作用<sup>[3]</sup>。RSV能诱导多种趋化因子表达增加,包括单核细胞趋化蛋白-1(MCP-1)、巨噬细胞炎性蛋白-1 $\alpha$ (MIP-1 $\alpha$ )、白介素-8(IL-8)<sup>[4,5]</sup>。过度的趋化因子表达在RSV感染的发病机制中起着重要作用,能够刺激和募集炎性细胞到感染部位,导致气道黏液分泌增多、上皮细胞损伤、脱落等炎性反应,出现气道阻塞和气道高反应性<sup>[6,7]</sup>。因此,阻断趋化因子的表达和释放,对治疗RSV感染具有重要价值。活化过氧化物酶体增殖物活化受体 $\gamma$ (PPAR $\gamma$ )因具有显著的免疫调节、广泛的抗炎及抗病毒作用,其在RSV感染治疗中的作用令人关注<sup>[8,9]</sup>。

本研究采用人气道上皮细胞A549细胞系建立RSV感染的细胞模型,检测RSV感染A549细胞后不同时间MCP-1、MIP-1 $\alpha$ 和IL-8 mRNA表达和蛋白水平,并进一步观察15d-PGJ<sub>2</sub>和罗格列酮抑制剂干预的影响,以阐明RSV感染时趋化因子的变化及PPAR $\gamma$ 激动剂的抑制作用及机制,为应用PPAR $\gamma$ 激动剂治疗RSV感染提供理论依据。

### 材料与方法

1. 材料和试剂:人Hep-2和A549细胞株购自中科院上海细胞生物研究所,来源于ATCC。RSV-Long标准株购自中国预防医学科学院病毒所。15d-PGJ<sub>2</sub>(美国Biomol公司),罗格列酮(北京高盟化工有限公司),PPAR $\gamma$ 拮抗剂GW9662(上海贝基生物科技有限公司),PDTc(Sigma公司),RNA引物(Invitrogen公司)cDNA第一链合成试剂盒(北京天根生化科技有限公司),RealMasterMix(北京天根生化科技有限公司),actin抗体、辣根过氧化物酶标记山羊抗小鼠IgG(碧云天生物技术研究所),MCP-1、MIP-1 $\alpha$ 及IL-8 ELISA试剂盒(R&D公司)。

2. 细胞培养:细胞接种于25cm<sup>2</sup>培养瓶中,用F12K培养,置于5%CO<sub>2</sub>、饱和湿度、37℃培养箱中,待细胞基本长满后,用0.25%胰蛋白酶进行消化传代;每隔2~3天换液,待细胞长至80%融合状态时用于实验。

3. RSV接种和增殖:将冻存的long标准株复苏后接种于

对数生长期单层Hep-2细胞上,37℃、5%CO<sub>2</sub>培养箱吸附2h后加入维持液,置温箱培养;逐日观察细胞病变效应(CPE),待CPE达75%以上(约2~5天),收获病毒悬液置-20℃≥2h,37℃反复冻融4次。5000r/min离心10min,弃沉淀,收集病毒上清液备用,-80℃保存。

4. RSV半数感染量(TCID50)测定:Hep-2细胞以1×10<sup>5</sup>/ml浓度接种于96孔培养板,每孔100μl。病毒原液用维持液10倍系列稀释9个浓度即10<sup>-1</sup>,10<sup>-2</sup>,……,10<sup>-9</sup>。细胞长成单层时吸弃培养液,PBS洗3次,接种各稀释度的病毒液,每个浓度8个复孔,每孔50μl。并设细胞对照组。置37℃、CO<sub>2</sub>培养箱中吸附2h,吸弃上清液,每孔加维持液100μl,置培养箱中继续培养。逐日观察CPE并记录,连续观察7天,用Reed-Muench公式计算病毒的TCID50。

5. 实验分组:将传代培养的A549细胞随机分为6组:A组(15d-PGJ<sub>2</sub>+RSV组)、B组(罗格列酮+RSV组)、C组(RSV对照组)、D组(PDTc+RSV组)、E组(GW9662+罗格列酮+RSV组)、F组(细胞对照组)。A组~E组均以100TCID50 RSV吸附2h后加培养液培养。RSV吸附前A、B、D组分别给予15d-PGJ<sub>2</sub>(20μmol/L)、罗格列酮(20μmol/L)、PDTc(10μmol/L)预处理0.5h,F组先以0.01%DMSO预处理0.5h,再以不含RSV的培养液培养。各组分别在培养12、24、48h收获细胞及上清液待测。

6. 实时定量RT-PCR检测MCP-1、MIP-1 $\alpha$ 及IL-8表达:收集培养的细胞,Trizol法提取总RNA,按cDNA第一链合成试剂盒获得cDNA模板,置于-20℃保存备用。针对每一需要测量的基因和管家基因,选择一确定表达该基因的cDNA模板进行PCR反应。10mmol/L dNTP mix 1μl,10×PCR Buffer 2.5μl,50mmol/L MgCl<sub>2</sub> 1.5μl,Taq DNA polymerase(5U/μl)0.4μl,扩增引物1(10μmol/L)1μl,扩增引物2(10μmol/L)1μl,cDNA 2μl,补38.1μl灭菌蒸馏水至总体积为50μl。轻弹管底将溶液混合,设置PCR反应:94℃变性2min;40个PCR循环(94℃,20s;60℃,30s;72℃,30s)。MCP-1上游引物:5'-TATTGTCCACTGACCCC-3';下游引物:5'-CTTCACCCAAGTCCTAAGGT-3';MIP-1 $\alpha$ 上游引物:5'-CTACGTCTCTTGACCAACGTT-3',下游引物:5'-CACTCC-CACCCAGGTCTTT-3';IL-8上游引物:5'-TAGCAAAATT-GAGGCCAAGG-3',下游引物:5'-AAACCAAGGCACAGTGG-AAC-3';β-actin上游引物:5'-TGCCCATTATGAGGGCTAC-3',下游引物:5'-GCCATCTCGTTCTCGAACGTC-3'。PCR产物与100bp DNA Ladder在2%琼脂糖凝胶电泳,溴化乙锭染色,检测PCR产物是否为单一特异性扩增条带。PCR产物进行10倍梯度稀释后的DNA模板以及所有cDNA样品

分别配置 real-time PCR 反应体系。体系参照 RealMasterMix 试剂盒,于 real-time PCR 仪上进行 PCR 反应。监测并收集荧光信号。扩增反应结束后建立 PCR 产物的熔解曲线。 $2^{-\Delta\Delta Ct}$  法计算各标本目的基因的相对表达量。

7. ELISA 检测 MCP-1、MIP-1 $\alpha$  及 IL-8 蛋白水平:无菌 eppendorf 管收集 A549 细胞培养上清液,置 -80°C 冰箱保存。应用 ELISA 试剂盒严格按照说明书操作。

8. 统计学方法:实验重复 3 次,计量资料实验数据均以均数  $\pm$  标准差 ( $\bar{x} \pm s$ ) 表示。采用 SPSS 17.0 软件进行分析,以  $P < 0.05$  为差异有统计学意义。多组样本均数比较采用单因素方差分析;两两比较方差齐者采用 LSD 检验,方差不齐者采用 Dunnett's-T3 检验。

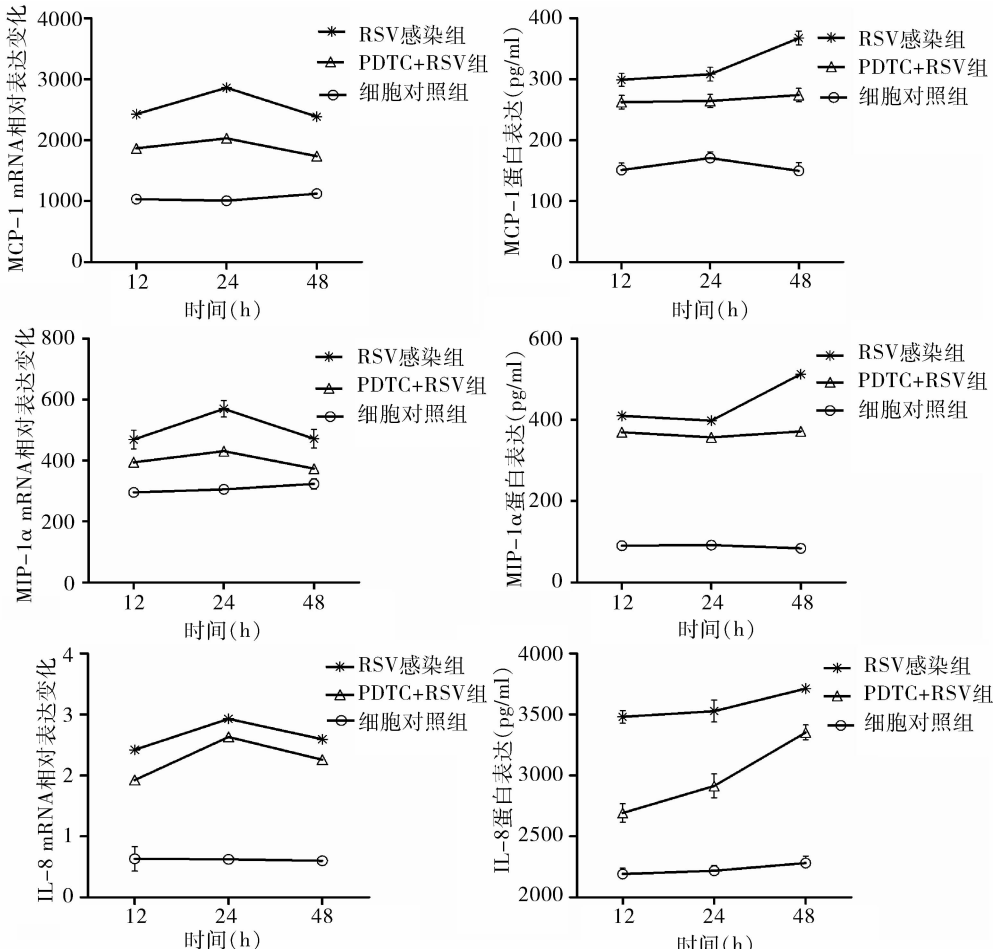


图 1 RSV 感染及 PDTC 对 MCP-1、MIP-1 $\alpha$  和 IL-8 mRNA 和蛋白表达的影响 ( $\bar{x} \pm s, n=4$ )

表 1 PPAR $\gamma$  激动剂干预对 RSV 感染 MCP-1 mRNA 及蛋白表达的影响 ( $\bar{x} \pm s, n=4, \text{ pg/ml}$ )

组别	12h		24h		48h	
	mRNA	蛋白	mRNA	蛋白	mRNA	蛋白
A 组	1859.20 $\pm$ 36.403 *	250.860 $\pm$ 13.105 *	1959.957 $\pm$ 45.609 *	256.193 $\pm$ 11.670 *	1718.690 $\pm$ 31.309 *	269.845 $\pm$ 11.646 *
B 组	1881.913 $\pm$ 69.045 *	261.333 $\pm$ 10.832 *	1957.190 $\pm$ 51.828 *	267.232 $\pm$ 10.625 *	1739.836 $\pm$ 31.319 *	277.152 $\pm$ 10.826 *
C 组	2427.218 $\pm$ 59.697 #	299.061 $\pm$ 10.656 #	2862.060 $\pm$ 51.526 #	308.134 $\pm$ 11.321 #	2386.833 $\pm$ 42.969 #	367.606 $\pm$ 11.142 #
D 组	1869.304 $\pm$ 33.452 *#	262.500 $\pm$ 10.942 *#	2031.330 $\pm$ 28.600 *#	264.515 $\pm$ 10.813 *#	1737.157 $\pm$ 22.894 *#	274.035 $\pm$ 10.747 *#
E 组	2305.675 $\pm$ 63.749 #	288.852 $\pm$ 11.683 #	2691.560 $\pm$ 56.187 #	295.366 $\pm$ 10.382 #	2241.673 $\pm$ 43.550 #	339.449 $\pm$ 13.123 #
F 组	1035.543 $\pm$ 22.609 *	151.305 $\pm$ 11.157 *	1007.398 $\pm$ 21.047 *	170.697 $\pm$ 10.181 *	1124.348 $\pm$ 16.476 *	149.868 $\pm$ 13.157 *

与 C 组比较, \*  $P < 0.05$ ; 与 F 组比较, #  $P < 0.05$

## 结 果

1. RSV 感染及 PDTC 干预后 MCP-1、MIP-1 $\alpha$ 、IL-8 mRNA 和蛋白表达的变化:如图 1 及表 1 ~ 表 3 所示,C 组与 F 组相比,MCP-1、MIP-1 $\alpha$ 、IL-8 mRNA 和蛋白的表达均在 12h 开始升高,其中 mRNA 表达在 24h 达高峰,48h 有所下降,与 12h 的表达相近,差异无统计学意义 ( $P$  均  $> 0.05$ );而蛋白的表达在 48h 达高峰,与 12h 比较差异有统计学意义 ( $P$  均  $< 0.05$ );D 组各时间点 3 种趋化因子 mRNA 和蛋白的表达均明显低于 C 组 ( $P$  均  $< 0.05$ ),但仍高于 F 组 ( $P$  均  $< 0.05$ )。

表 2 PPAR $\gamma$  激动剂干预对 RSV 感染 MIP-1 $\alpha$  mRNA 及蛋白表达的影响 ( $\bar{x} \pm s, n = 4, \text{pg/ml}$ )

组别	12h		24h		48h	
	mRNA	蛋白	mRNA	蛋白	mRNA	蛋白
A 组	361.117 $\pm$ 21.036 *	333.570 $\pm$ 11.015 *	378.687 $\pm$ 25.725 *	340.954 $\pm$ 10.850 *	343.072 $\pm$ 18.471 *	364.918 $\pm$ 10.644 *
B 组	381.583 $\pm$ 22.436 *	379.530 $\pm$ 10.881 *	385.367 $\pm$ 13.059 *	370.202 $\pm$ 10.577 *	367.411 $\pm$ 17.909 *	385.513 $\pm$ 11.725 *
C 组	469.296 $\pm$ 30.146 #	410.173 $\pm$ 11.052 #	569.500 $\pm$ 26.803 #	398.223 $\pm$ 11.624 #	471.853 $\pm$ 30.448 #	512.631 $\pm$ 11.361 #
D 组	394.196 $\pm$ 14.146 *#	369.595 $\pm$ 10.770 *#	430.910 $\pm$ 11.651 *#	357.454 $\pm$ 11.045 *#	373.933 $\pm$ 15.041 *#	371.655 $\pm$ 10.710 *#
E 组	423.410 $\pm$ 9.070 #	395.889 $\pm$ 11.800 #	522.780 $\pm$ 14.545 #	387.303 $\pm$ 11.082 #	433.972 $\pm$ 26.809 #	474.418 $\pm$ 11.415 #
F 组	295.679 $\pm$ 13.679 *	90.516 $\pm$ 8.070 *	305.398 $\pm$ 14.893 *	92.013 $\pm$ 5.400 *	323.348 $\pm$ 16.981 *	84.214 $\pm$ 11.650 *

与 C 组比较, \*  $P < 0.05$ ; 与 F 组比较, #  $P < 0.05$

表 3 PPAR $\gamma$  激动剂干预对 RSV 感染 IL-8 mRNA 及蛋白表达的影响 ( $\bar{x} \pm s, n = 4, \text{pg/ml}$ )

组别	12h		24h		48h	
	mRNA	蛋白	mRNA	蛋白	mRNA	蛋白
A 组	0.411 $\pm$ 0.001 *	2140.106 $\pm$ 49.12 *	0.568 $\pm$ 0.004 *	2219.52 $\pm$ 85.147 *	0.488 $\pm$ 0.101 *	2660.055 $\pm$ 40.081 *
B 组	0.460 $\pm$ 0.001 *	2211.201 $\pm$ 38.328 *	0.651 $\pm$ 0.001 *	2313.66 $\pm$ 67.866 *	0.567 $\pm$ 0.221 *	2741.675 $\pm$ 81.168 *
C 组	2.420 $\pm$ 0.016 #	3480.152 $\pm$ 52.218 #	2.929 $\pm$ 0.020 #	3528.256 $\pm$ 88.755 #	2.594 $\pm$ 0.013 #	3713.152 $\pm$ 30.297 #
D 组	1.926 $\pm$ 0.013 *#	2693.176 $\pm$ 76.213 *#	2.633 $\pm$ 0.018 *#	2914.75 $\pm$ 99.529 *#	2.045 $\pm$ 0.018 *#	3353.182 $\pm$ 61.493 *#
E 组	2.280 $\pm$ 0.014 #	3001.620 $\pm$ 65.341 #	2.823 $\pm$ 0.015 #	3111.62 $\pm$ 59.245 #	2.269 $\pm$ 0.020 #	3438.342 $\pm$ 66.648 #
F 组	0.635 $\pm$ 0.201 *	2191.746 $\pm$ 49.17 *	0.625 $\pm$ 0.021 *	2218.897 $\pm$ 41.774 *	0.601 $\pm$ 0.001 *	2281.756 $\pm$ 56.971 *

与 C 组比较, \*  $P < 0.05$ ; 与 F 组比较, #  $P < 0.05$

2. PPAR $\gamma$  激动剂及 GW9662 干预对 RSV 愄染 MCP-1、MIP-1 $\alpha$ 、IL-8 mRNA 和蛋白表达的影响: 如表 1~表 3 所示, A 组、B 组与 C 组相比, 各时间点 MCP-1、MIP-1 $\alpha$ 、IL-8 mRNA 和蛋白的表达均明显降低 ( $P$  均  $< 0.05$ ); E 组与 C 组相比, 各时间点 3 种趋化因子蛋白及 mRNA 的表达差异无统计学意义 ( $P$  均  $> 0.05$ ), 但仍高于 F 组 ( $P$  均  $< 0.05$ )。

## 讨 论

气道上皮细胞是 RSV 愄染的靶细胞, RSV 在其中复制能分泌大量的 IL-8、MCP-1、MIP-1 $\alpha$  等趋化因子, 其中 IL-8 属于 CXC 家族成员, 对中性粒细胞有强烈的趋化和激活作用; MIP-1 $\alpha$  和 MCP-1 属于 CC 趋化因子, 可募集中性粒细胞、淋巴细胞等炎性细胞到炎症部位。纯化的 RSV G 蛋白可以刺激人支气管上皮细胞 IL-8 和 MCP-1 的分泌, F 蛋白则促使这些产物向炎症部位趋化渗出<sup>[10]</sup>。Seki 等<sup>[4]</sup>的体外研究发现, 胎儿肺纤维母细胞 RSV 愄染 24h 后, 包括 IL-8、MCP-1 和 MIP-1 在内的多种炎性介质表达升高, 提示趋化因子和细胞因子的过度产生可能与 RSV 诱导的过度变态反应性炎症的病生机制有关。体内研究显示, RSV 愄染后肺部炎性反应的程度及病情与鼻咽分泌物、BALF 或肺组织中 IL-8、MIP-1 $\alpha$  和 MCP-1 水平相关, 表明这些趋化因子在 RSV 愄染的气道炎症中发挥了重要作用, 还可以用

来评估病情及指导治疗<sup>[11~13]</sup>。本实验结果显示: RSV 愄染后 A549 细胞 MCP-1、MIP-1 $\alpha$  和 IL-8 mRNA 和蛋白的表达明显升高, 其中基因的表达自感染后 12h 开始明显增加, 高峰时间在 24h; 蛋白的表达则自感染后 12h 明显增加, 高峰时间在 48h, 与文献报道相一致<sup>[10,13]</sup>。证实 RSV 愄染可诱导 MCP-1、MIP-1 $\alpha$  和 IL-8 的表达和释放。

核转录因子 -  $\kappa$ B (NF -  $\kappa$ B) 是调控趋化因子、细胞因子等炎性介质基因转录的关键转录因子, 激活后可引发全面的炎性反应。PDTC 是 NF -  $\kappa$ B 特异性阻断剂, 可抑制 NF -  $\kappa$ B 的 p65 亚单位, 并具有金属螯合作用, 通过抑制 NF -  $\kappa$ B 信号通路, 抑制炎性因子基因的表达从而减少其释放<sup>[14]</sup>。本研究预先应用 PDTC 处理 RSV 愄染的 A549 细胞, 结果能明显下调 MCP-1、MIP-1 $\alpha$  和 IL-8 mRNA 表达和蛋白分泌, 证明 NF -  $\kappa$ B 的激活在调节趋化因子的表达中有重要作用。抑制 NF -  $\kappa$ B 信号通路活化, 阻断趋化因子的表达和释放, 可为抑制 RSV 诱发的气道炎症、减轻病情提供可靠的治疗手段<sup>[6, 12]</sup>。

抑制 NF -  $\kappa$ B 信号通路激活, 下调细胞因子和趋化因子表达, 减少炎性细胞募集是 PPAR $\gamma$  激动剂主要抗炎机制<sup>[15]</sup>。PPAR $\gamma$  激动剂可直接与 NF -  $\kappa$ B p65/p50 结合, 降低 NF -  $\kappa$ B 与 DNA 的结合活性, 也可通过抑制 NF -  $\kappa$ B 复合物抑制因子 (I $\kappa$ B) 激酶

(IKKs) 活性, 减少 I<sub>K</sub>B - α 降解而下调趋化因子。体内外研究显示 15d - PGJ<sub>2</sub> 能抑制 IL - 8 mRNA 及蛋白水平, 延缓 I<sub>K</sub>B - α 降解; 而吡格列酮能抑制 NF - κB 活性及 MCP - 1 表达<sup>[16]</sup>。Arnold 等<sup>[17]</sup> 的研究结果显示, 15d - PGJ<sub>2</sub> 和罗格列酮干预对 RSV 增殖有显著的抑制作用, 并能有效减少 RSV 诱导的细胞因子及合胞体形成, 显著抑制 RSV 表面黏附蛋白 G 和融合蛋白 F 蛋白表达, 表明其对 RSV 感染兼有抗病毒和抗炎作用。本实验通过研究 15d - PGJ<sub>2</sub> 和罗格列酮对 RSV 感染 A549 细胞的趋化因子表达水平来探讨 PPARγ 激动剂的体外抗炎作用, 结果发现 15d - PGJ<sub>2</sub> 和罗格列酮干预均可下调 RSV 感染的 MCP - 1、MIP - 1α 和 IL - 8 蛋白和 mRNA 和表达, 而预先应用 PPARγ 拮抗剂 GW9662 后可以阻断罗格列酮的上述作用, 表明 15d - PGJ<sub>2</sub> 和罗格列酮有体外抑制 RSV 感染 MCP - 1、MIP - 1α 和 IL - 8 表达的作用, 也进一步证实了趋化因子在 RSV 诱导的气道炎症中的作用。

综上所述, 本研究为 PPARγ 激动剂治疗 RSV 感染的作用及其机制提供了理论证据, 由于 PPARγ 激动剂具有多方面的抗炎作用和抗氧化作用, 其在 RSV 感染中是否还可通过非 PPAR 依赖的途径发挥作用尚未明确, 有待于今后进一步研究。

#### 参考文献

- Stockman LJ, Curns AT, Anderson LJ, et al. Respiratory syncytial virus - associated hospitalizations among infants and young children in the United States, 1997 - 2006 [J]. Pediatr Infect Dis J, 2012, 31 (1): 5 - 9
- Perez - Yarza EG, Moreno A, Lazaro P, et al. The association between respiratory virus infection and the development of childhood asthma: a systematic review of the literature [J]. Pediatr Infect Dis J, 2007, 26(8): 733 - 739
- Hansbro NG, Horvat JC, Wark PA, et al. Understanding the mechanisms of viral induced asthma: new therapeutic directions [J]. Pharmacol Ther, 2008, 117(3): 313 - 353
- Seki E, Yoshizumi M, Tanaka R, et al. Cytokine profiles, signalling pathways and effects of fluticasone propionate in respiratory syncytial virus - infected human foetal lung fibroblasts [J]. Cell Biol Int, 2013, 37(4): 326 - 339
- Tian B, Zhang Y, Luxon BA, et al. Identification of NF - kappaB - dependent gene networks in respiratory syncytial virus - infected cells [J]. J Virol, 2002, 76(13): 6800 - 6814
- Zeng R, Li C, Li N, et al. The role of cytokines and chemokines in severe respiratory syncytial virus infection and subsequent asthma [J]. Cytokine, 2011, 53(1): 1 - 7
- 刘琳, 董琳, 徐月波, 等. RSV 感染诱导的 RANTES、FKN、IP - 10 表达及 PPARγ 激动剂抑制作用的体外研究 [J]. 中华微生物学和免疫学杂志, 2013, 9: 659 - 665
- 万春杰, 董琳, 林洁, 等. PPARγ 激动剂抗呼吸道合胞病毒感染作用的体外研究 [J]. 中华实验和临床病毒学杂志, 2011, 25 (6): 480 - 482
- Daynes RA, Jones DC. Emerging roles of PPARs in inflammation and immunity [J]. Nat Rev Immunol, 2002, 2(10): 748 - 759
- Oshansky CM, Barber JP, Crabtree J, et al. Respiratory syncytial virus F and G proteins induce interleukin 1alpha, CC, and CXC chemokine responses by normal human bronchoepithelial cells [J]. J Infect Dis, 2010, 201(8): 1201 - 1207
- Reimers K, Buchholz K, Werchau H. Respiratory syncytial virus M2 - 1 protein induces the activation of nuclear factor kappa B [J]. Virology, 2005, 331(2): 260 - 268
- Brand HK, Ferwerda G, Preijers F, et al. CD4<sup>+</sup> T - cell counts and interleukin - 8 and CCL - 5 plasma concentrations discriminate disease severity in children with RSV infection [J]. Pediatr Res, 2013, 73(2): 187 - 193
- Mella C, Suarez - Arrabal M C, Lopez S, et al. Innate immune dysfunction is associated with enhanced disease severity in infants with severe respiratory syncytial virus bronchiolitis [J]. J Infect Dis, 2013, 207(4): 564 - 573
- Liu SF, Ye X, Malik AB. Inhibition of NF - kappaB activation by pyrrolidine dithiocarbamate prevents In vivo expression of proinflammatory genes [J]. Circulation, 1999, 100(12): 1330 - 1337
- Straus DS, Glass CK. Anti - inflammatory actions of PPAR ligands: new insights on cellular and molecular mechanisms [J]. Trends Immunol, 2007, 28(12): 551 - 558
- Arnold R, Konig W. Peroxisome - proliferator - activated receptor - gamma agonists inhibit the release of proinflammatory cytokines from RSV - infected epithelial cells [J]. Virology, 2006, 346(2): 427 - 439
- Arnold R, Konig W. Peroxisome proliferator - activated receptor - gamma agonists inhibit the replication of respiratory syncytial virus (RSV) in human lung epithelial cells [J]. Virology, 2006, 350(2): 335 - 346

(收稿日期:2014 - 06 - 11)

(修回日期:2014 - 08 - 19)